

# Исследование линейной устойчивости кольцевого режима двухфазного течения\*

Д.Г. АРХИПОВ

e-mail: theory@itp.nsc.ru

И.С. ВОЖАКОВ

e-mail: vzhakov@gmail.com

О.Ю. ЦВЕЛОДУБ

e-mail: tsvel@itp.nsc.ru

*Новосибирский государственный университет*

*Институт теплофизики им. С.С. Кутателадзе СО РАН*

Выведена новая система уравнений для моделирования динамики длинноволновых возмущений на поверхности тонкого слоя вязкой жидкости, стекающего по вертикальной плоскости и обдуваемого турбулентным потоком газа. Проведен анализ линейной устойчивости плоскопараллельного течения. Обнаружено, что при умеренных числах Рейнольдса жидкости линейные модели Бенджамина и переноса граничных условий на невозмущенный уровень для возмущенного течения газа дают качественно похожие результаты. При уменьшении числа Рейнольдса, отличия между результатами, полученными по разным моделями турбулентности, становятся более выраженными.

## 1. Введение и постановка задачи

Совместное течение жидкости и газа - классическая задача гидродинамики. Применительно к задачам теплофизики и химической технологии часто имеет место турбулентное течение газа над тонким, покрытым волнами слоем жидкости. Решение этой проблемы в полной сопряженной постановке связано со значительными вычислительными трудностями, поэтому зачастую выделяют два этапа моделирования: определение напряжений газа на поверхности пленки и последующий расчет эволюции волн в жидкости. Скорость жидкости значительно меньше характерной скорости газа, поэтому поверхность раздела полагают жесткой и неподвижной. Кроме того, вследствие малости толщины пленки, влияние возмущений границы раздела на скорости в газе, можно считать линейным. В силу этого, задача вычисления нормальных и касательных напряжений газа на поверхности сводится к рассмотрению влияния на них отдельных пространственных гармоник. На втором этапе исследования совместного течения исследуется динамика нелинейных волн на поверхности пленки жидкости в известном поле напряжений на границе раздела фаз.

Полная постановка задачи включает уравнения Навье–Стокса с соответствующими кинематическими и динамическими граничными условиями. В ней серьезной проблемой

---

\*Работа выполнена при финансовой поддержке гранта Правительства России для государственной поддержки научных исследований проводимых под руководством ведущих ученых в российских вузах № 11.G34.31.0035 (ведущий ученый – В. Е. Захаров, ГОУ ВПО «Новосибирский государственный университет»)

является то, что положение подвижной границы заранее неизвестно и определяется в процессе решения. Целью работы было получение модельной системы уравнений, описывающей эволюцию длинноволновых возмущений границы раздела при умеренных числах Рейнольдса жидкости, в которой проблема неизвестной границы в некотором смысле решена.

Если исключить из рассмотрения эффекты уноса капель и осушения стенки, то область течения жидкости является односвязной. Наличие поверхностного натяжения обеспечивает отсутствие острых кромок на поверхности пленки. В этих условиях функция  $y = h(x, t)$ , определяющая положение точек границы области является однозначной, и существует непрерывно дифференцируемое преобразование координат, отображающее область течения жидкости в полосу постоянной толщины:

$$x = x, \quad \eta = y/h(x, t), \quad t = t. \quad (1)$$

Новые переменные (1) не ортогональны, поэтому обычная формулировка уравнений движения в векторной форме неприменима. По этой причине часто ограничиваются простой заменой переменных в исходных уравнениях без преобразования векторов и тензоров (см., например, [1]). В результате получаются системы уравнений для декартовых компонент скорости жидкости. Эти компоненты, разумеется, не образуют вектор в новой криволинейной системе координат (1).

Другой способ выполнить преобразование (1) предполагает использование новых переменных в уравнениях, записанных в тензорной, инвариантной относительно систем координат, форме. Однако для этого необходима система уравнений движения жидкости в полном четырехмерном пространстве, где одной из координат является время. В физике такая система известна, как система уравнений релятивистской гидродинамики [2]. Тензорные обозначения позволяют переходить в произвольную подвижную систему координат, а применение ключевой идеи общей теории относительности – гравитация не меняет уравнений движения, а влияет только на метрику пространства – элегантно решает проблему внешней силы тяжести. Записав уравнения в новых криволинейных координатах покомпонентно, и ограничиваясь первым членом разложения по малому параметру (отношение скорости жидкости к скорости света), в длинноволновом пределе приходим к системе [3]:

$$\frac{\partial(uh)}{\partial t} + \frac{\partial(u^2h)}{\partial x} + \frac{\partial(uvh)}{\partial \eta} = -\frac{h}{\rho} \frac{\partial p}{\partial x} + \frac{\mu}{\rho h} \frac{\partial^2 u}{\partial \eta^2} + gh \quad (2)$$

$$\frac{\partial h}{\partial t} + \frac{\partial(uh)}{\partial x} + \frac{\partial(vh)}{\partial \eta} = 0 \quad (3)$$

$$\frac{\partial p}{\partial \eta} = 0 \quad (4)$$

Здесь  $h$  – толщина пленки,  $p$  – давление,  $u$  и  $v$  – контрвариантные компоненты продольной и поперечной скорости, соответственно,  $\rho$  – плотность,  $\mu$  – динамическая вязкость жидкости.

Из граничного условия покоя жидкости на гиперповерхности  $\eta = 0$  следует:

$$u(x, 0, t) = 0, \quad v(x, 0, t) = 0 \quad (5)$$

На гиперповерхности  $\eta = 1$  выполняется условие непротекания:

$$v \equiv \frac{d\eta}{dt} = 0, \quad v(x, 1, t) = 0 \quad (6)$$

Введем на  $\eta = 1$  локальные координаты  $\zeta^i$  по правилу:

$$x = \zeta^1, \quad \eta = 1, \quad t = \zeta^2 \quad (7)$$

Тогда ковариантный вектор нормали записывается обычным способом:

$$n_i \equiv \frac{1}{2} e^{\alpha\beta} e_{ijk} \frac{\partial x^j}{\partial \zeta^\alpha} \frac{\partial x^k}{\partial \zeta^\beta} = (0, h, 0) \quad (8)$$

Проектируя тензор вязких напряжений на вектор нормали, в длинноволновом приближении получаем:

$$\begin{aligned} \tau^{1j} n_j(x, 1, t) &\equiv \frac{\mu}{h} \frac{\partial u}{\partial \eta}(x, 1, t) = \mathcal{T}_g(x, t) \equiv \mathcal{T}_0 \left( 1 + \int_{-\infty}^{+\infty} \tau(k) k \hat{h}(k, t) e^{ikx} dk \right) \\ \tau^{3j} n_j(x, 1, t) &= 0 \end{aligned} \quad (9)$$

Учитывая наличие скачка нормального напряжения на поверхности, в этом же приближении имеем:

$$p = \mathcal{P}_g(x, t) - 2\sigma H \equiv \mathcal{P}_0(x) + \int_{-\infty}^{+\infty} p(k) k \hat{h}(k, t) e^{ikx} dk - 2\sigma H \quad (10)$$

Здесь  $\mathcal{T}_g(x, t)$  – распределение касательных напряжений газа на поверхности пленки,  $\mathcal{T}_0$  – его невозмущенная составляющая,  $\mathcal{P}_g(x, t)$  – распределение давления,  $\mathcal{P}_0(x)$  – давление газа в отсутствие возмущений поверхности пленки жидкости,  $\tau(k)$  – Фурье-компонента составляющей, вызванной криволинейностью границы раздела,  $\hat{h}(k, t)$  – Фурье-разложение формы поверхности:

$$\hat{h}(k, t) = \frac{1}{2\pi} \int_{-\infty}^{+\infty} h(x, t) e^{-ikx} dk, \quad (11)$$

$H$  – средняя кривизна поверхности, определяемая как свертка первой  $a_{ij}$  и второй  $b_{ij}$  квадратичных форм свободной поверхности  $H = a^{ij} b_{ij}$ ,  $\sigma$  – коэффициент поверхностного натяжения.

Так как средняя кривизна является скаляром, вычислим ее в декартовых координатах:

$$H = \frac{1}{2} \frac{\partial^2 h}{\partial x^2} \quad (12)$$

Используя уравнения (10),(12) приводим систему (2)-(4) к виду:

$$\begin{aligned} \frac{\partial(uh)}{\partial t} + \frac{\partial(u^2h)}{\partial x} + \frac{\partial(uvh)}{\partial \eta} &= \frac{\sigma}{\rho} h \frac{\partial^3 h}{\partial x^3} + \frac{\mu}{\rho h} \frac{\partial^2 u}{\partial \eta^2} + gh - \frac{\chi}{\rho} h - \frac{h}{\rho} \int_{-\infty}^{+\infty} ik^2 p(k) \hat{h}(k, t) e^{ikx} dk \\ \frac{\partial h}{\partial t} + \frac{\partial(uh)}{\partial x} + \frac{\partial(hv)}{\partial \eta} &= 0 \end{aligned} \quad (13)$$

Здесь  $\chi \equiv d\mathcal{P}_0/dx$ .

## 2. Исследование линейной устойчивости

Выберем характерные масштабы скорости –  $u_0$ , длины –  $l_0$ , толщины –  $h_0$ , времени –  $l_0/u_0$ , и напряжений  $\mathcal{P}_g, \mathcal{T}_g - \rho u_0^2$ , и перепишем систему уравнений (13) в безразмерных переменных (с верхней  $\tilde{\cdot}$ ):

$$\tilde{u} = \frac{u}{u_0}, \quad \tilde{v} = \frac{l_0 v}{u_0}, \quad \tilde{x} = \frac{x}{l_0}, \quad \tilde{t} = \frac{u_0 t}{l_0}, \quad \tilde{h} = \frac{h}{h_0}$$

$$\tilde{h}_k = \frac{\hat{h}(k, t)}{h_0 l_0}, \quad \tilde{k} = k l_0, \quad \tilde{\tau}_0 = \frac{\mathcal{T}_0}{\rho u_0^2}$$

$$\begin{aligned} \frac{u_0^2 h_0}{l_0} \frac{\partial(\tilde{u}\tilde{h})}{\partial\tilde{t}} + \frac{u_0^2 h_0}{l_0} \frac{\partial(\tilde{u}^2\tilde{h})}{\partial\tilde{x}} + \frac{u_0^2 h_0}{l_0} \frac{\partial(\tilde{u}\tilde{v}\tilde{h})}{\partial\eta} &= \frac{h_0^2}{l_0^3} \frac{\sigma}{\rho} \tilde{h} \frac{\partial^3 \tilde{h}}{\partial \tilde{x}^3} - \frac{h_0 \rho u_0^2}{l_0} \frac{\tilde{h}}{\rho} \frac{\partial \tilde{p}_0}{\partial \tilde{x}} - \\ &- \frac{\rho u_0^2 h_0^2}{l_0^2} \frac{\tilde{h}}{\rho} \int \hat{h}_k i \tilde{k}^2 \tilde{p}(\tilde{k}) e^{i\tilde{k}\tilde{x}} d\tilde{k} + \frac{u_0}{h_0} \frac{\mu}{\rho \tilde{h}} \frac{\partial^2 \tilde{u}}{\partial \eta^2} + g h_0 \tilde{h} \end{aligned} \quad (14)$$

$$\frac{u_0 h_0}{l_0} \frac{\partial \tilde{h}}{\partial \tilde{t}} + \frac{u_0 h_0}{l_0} \frac{\partial(\tilde{u}\tilde{h})}{\partial \tilde{x}} + \frac{u_0 h_0}{l_0} \frac{\partial(\tilde{v}\tilde{h})}{\partial \eta} = 0 \quad (15)$$

Введем безразмерные параметры: число Рейнольдса – Re, число Вебера – W, число Фруда – Fr, и отношение толщины пленки к характерной длине волны –  $\varepsilon$ :

$$\varepsilon = \frac{h_0}{l_0}, \quad W = \frac{\sigma}{\rho l_0 u_0^2}, \quad Fr = \frac{u_0^2}{g h_0}, \quad Re = \frac{\rho h_0 u_0}{\mu}$$

В итоге, система (14),(15) принимает вид:

$$\begin{aligned} \varepsilon Re \left( \frac{\partial(uh)}{\partial t} + \frac{\partial(u^2 h)}{\partial x} + \frac{\partial(uvh)}{\partial \eta} \right) &= \varepsilon^2 Re W h h_{xxx} - \varepsilon Re h \frac{\partial p_0}{\partial x} - \\ &- \varepsilon^2 Re h i \int h_k k^2 p(k) e^{ikx} dk + \frac{u_{\eta\eta}}{h} + \frac{Re}{Fr} h \end{aligned} \quad (16)$$

$$\frac{\partial h}{\partial t} + \frac{\partial(uh)}{\partial x} + \frac{\partial(vh)}{\partial \eta} = 0 \quad (17)$$

с граничными условиями:

$$u(x, 0, t) = 0 \quad (18)$$

$$v(x, 0, t) = 0 \quad (19)$$

$$\frac{\partial u}{\partial \eta}(x, 1, t) = h Re \tau_0 (1 + \varepsilon \int \hat{h}_k k \tau(k) e^{ikx} dk) \quad (20)$$

$$v(x, 1, t) = 0 \quad (21)$$

Выберем  $h_0$  и  $u_0$  так, чтобы безразмерная толщина пленки  $\tilde{h} = 1$  и безразмерный расход пленки  $\tilde{Q} = 1$  для безволнового течения. Тогда невозмущенный профиль скорости течения имеет вид:

$$u^0 = \frac{Re}{Fr} \left( \eta - \frac{\eta^2}{2} \right) + Re \tau_0 \eta \quad (22)$$

А из условия  $\tilde{Q} = 1$  следует:

$$Q^0 = \int_0^1 u^0 d\eta = 1 \Rightarrow \text{Fr} = \frac{2\text{Re}}{3(2 - \text{Re}\tau_0)} \quad (23)$$

Таким образом, характерная скорость и толщина пленки однозначно определены:

$$h_0 = \left( \frac{3\nu^2 \text{Re}(2 - \text{Re}\tau_0)}{2g} \right)^{1/3} \quad (24)$$

$$u_0 = \left( \frac{2\nu \text{Re}^2 g}{3(2 - \text{Re}\tau_0)} \right)^{1/3} \quad (25)$$

Для исследования линейной устойчивости профиля (22), рассмотрим возмущенное течение:

$$u = u^0 + u_1 e^{ikx - ikct}$$

$$v = v_1 e^{ikx - ikct}$$

$$h = 1 + h_1 e^{ikx - ikct}$$

Из системы (16)-(17) для линейных возмущений  $u_1, v_1$  получим:

$$\begin{aligned} & \varepsilon \text{Re} \left( -ikcu_1 - ikcu_0 h_1 + 2iku_0 u_1 + iku_0^2 h_1 + u_{0\eta} v_1 + u_0 v_{1\eta} \right) \\ & = -ik^3 \varepsilon^2 \text{Re} W h_1 - \varepsilon \text{Re} \chi h_1 + u_{1\eta\eta} - u_{0\eta\eta} h_1 + \frac{\text{Re}}{\text{Fr}} h_1 \end{aligned} \quad (26)$$

$$-ikc + iku_1 + iku_0 h_1 + v_{1\eta} = 0 \quad (27)$$

Из граничных условий (18)-(21) следует:

$$u_1(x, 0, t) = 0 \quad (28)$$

$$v_1(x, 0, t) = 0 \quad (29)$$

$$\frac{\partial u_1}{\partial \eta}(x, 1, t) = h_1 \text{Re}\tau_0 (1 + \varepsilon \tau(k)k). \quad (30)$$

$$v_1(x, 1, t) = 0 \quad (31)$$

Для определения линейного отклика касательного  $\tau(k)$  и нормального  $p(k)$  напряжений на границе раздела фаз рассмотрим течение газа над волнистой поверхностью пленки жидкости. В работах [4], [5] приведены наиболее популярные из используемых для этой цели линейные модели турбулентного течения над волнистой стенкой.

Первая модель, основанная на переносе граничных условий на невозмущенный уровень (МПУ), приводит к уравнению Орра-Зоммерфельда:

$$i\text{Re}_g (U(v_g'' - v_g) - v_g U'') = v_g''' - 2v_g'' + v_g, \quad (32)$$

где газовое число Рейнольдса  $\text{Re}_g$  определяется соотношением:  $\text{Re}_g = (\nu^* h_0)/(k\nu_g)$ , здесь  $\nu^* = \sqrt{T_0/\rho_g}$ . Решая данное дифференциальное уравнение, находим  $\tau(k)$  и  $p(k)$ .

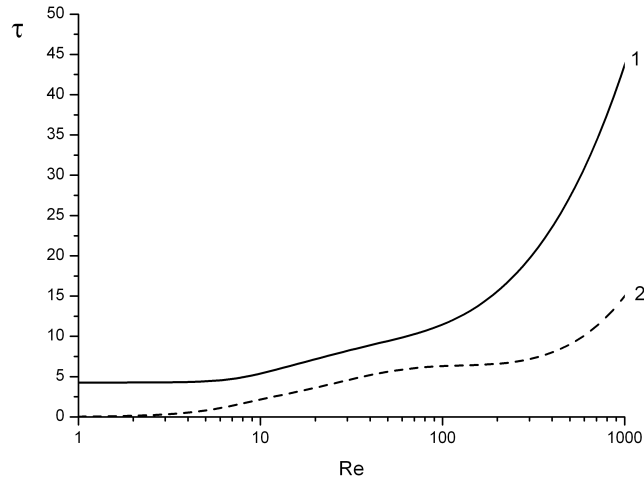


Рис. 1. Зависимость вещественной (кривая 1) и мнимой (кривая 2) компоненты касательных напряжений по модели переноса граничных условий (МПГУ) от числа Рейнольдса

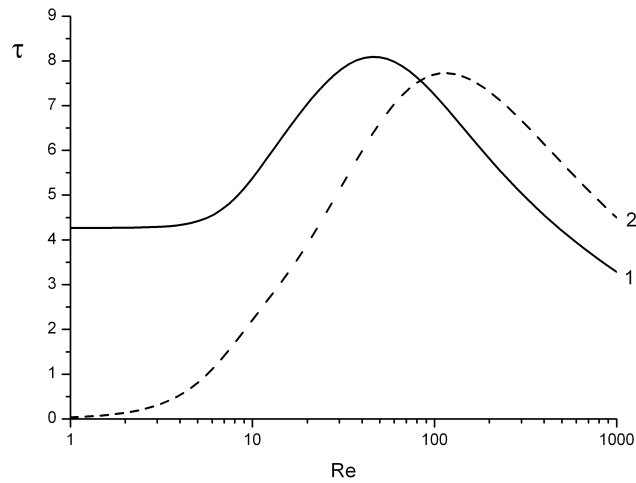


Рис. 2. Зависимость вещественной (кривая 1) и мнимой (кривая 2) компоненты касательных напряжений по модели Бенджамина (МБ) от числа Рейнольдса

Модель Бенджамина (МБ) для вычисления тензора напряжений газового потока, предложенная в работе [6], сводится к рассмотрению уравнения:

$$i\text{Re}_g (U(v_g'' - v_g) - v_g U'') = v_g'''' - 2v_g'' + v_g + (U'''' - 2U''')e^{-y} \quad (33)$$

Профиль скорости взят из работы [7] и выглядит следующим образом:

$$U(y) = 4.33 \ln(1 + 0.091y\text{Re}) - 0.915 \ln(1 - 0.092y\text{Re} + 0.0108y^2\text{Re}^2) + \\ + 5.59 \arctan(0.116y\text{Re} - 0.492) + 2.56$$

Результаты расчетов касательных напряжений по этим моделям приведены на рис. 1,2.

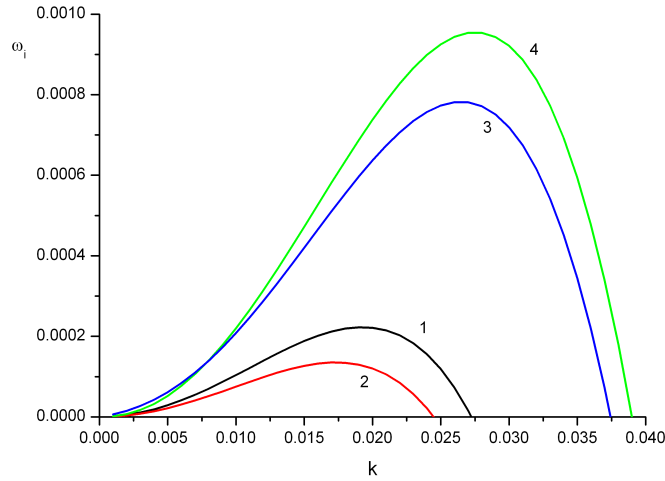


Рис. 3. Зависимость мнимой компоненты  $\omega$  от волнового числа  $k$  при  $Re=1$ .

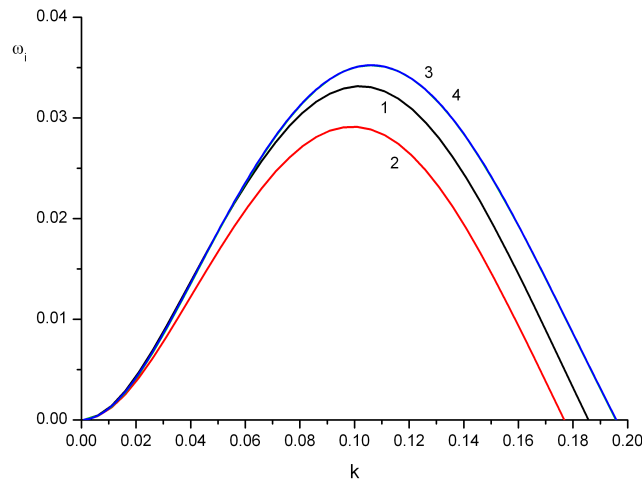


Рис. 4. Зависимость мнимой компоненты  $\omega$  от волнового числа  $k$  при  $Re=10$ .

Эти данные использовались для решения краевой задачи (26)-(27). В результате были получены зависимости  $c = c(k)$ .

На рис. 3, 4 представлены графики мнимой части  $\omega = ck$  в зависимости от безразмерного волнового числа для двух характерных значений числа Рейнольдса пленки. На этих рисунках показаны результаты для свободно стекающей пленки (кривые 1), для пленки с учетом только стационарного касательного напряжения со стороны газовой фазы (кривые 2), и результаты расчетов по моделям МПГУ (кривые 3) и МБ (кривые 4).

Для рис. 3 значение числа Рейнольдса пленки  $Re = 1$ , безразмерное трение  $\tau_0 = 0.39$ . Видно, что учет влияния стационарной составляющей трения газового потока стабилизирует пленку (см. кр. 1, 2), тогда как учет пульсаций касательного напряжения приводит к обратному эффекту (см. кр. 3, 4). Также можно заметить, что графики функций

полученные с помощью модели переноса граничных условий и по модели Бенджамина не имеют значительного отличия.

Для рис. 4 число Рейнольдса пленки  $Re = 10$ , соответствующее безразмерное трение  $\tau_0 = 0.19$  (подчеркнем, что величины размерного трения для рис. 3 и 4 одинаковы). В этом случае результаты качественно подобны. При этом с увеличением числа Рейнольдса пленки, данные, полученные по МПГУ и МБ, сближаются. Как видно из рис. 4, уже при  $Re = 10$  они с графической точностью совпадают – кр. 3 и 4 сливаются.

Полученные результаты хорошо согласуются с результатами экспериментальной работы [8].

### 3. Заключение

Выведена новая система уравнений для моделирования динамики длинноволновых возмущений на поверхности тонкого слоя вязкой жидкости, стекающего по вертикальной плоскости и обдуваемого турбулентным потоком газа. Проведен анализ линейной устойчивости плоскопараллельного течения. Обнаружено, что при умеренных числах Рейнольдса жидкости линейные модели Бенджамина и переноса граничных условий на невозмущенный уровень для возмущенного течения газа дают качественно похожие результаты. При уменьшении числа Рейнольдса, отличия между результатами, полученными по разным моделями турбулентности, становятся более выраженными.

### Список литературы

- [1] ГЕШЕВ П.И., ЕЗДИН Б.С. Расчет профиля скорости и формы волны на стекающей пленке жидкости // В кн.: Гидродинамика и тепломассообмен течений жидкости со свободной поверхностью. Новосибирск. 1985. С. 49–57.
- [2] ЛАНДАУ Л.Д., ЛИФШИЦ Е.М. Гидродинамика. М.: Наука, 1986.
- [3] АЛЕКСЕЕНКО С.В., АРХИПОВ Д.Г., ЦВЕЛОДУБ О.Ю. Дивергентная система уравнений для пленки жидкости, стекающей по вертикальной плоскости // Доклады РАН. 2011. Т. 436, № 1. С. 43–46.
- [4] ALEKSEENKO S.V., ARKHIPOV D.G., TSVELODUB O.YU. Modelling of the stresses produced by the turbulent gas flow over the wavy liquid film // Transport Phenomena with Moving Boundaries. 2007. Berlin. pp. 51–62.
- [5] DEMEKHIN E. A. Nonlinear waves in a liquid film entrained by a turbulent gas stream. Fluid Dynamics // 1981. Volume 16. Issue 2. pp. 188–193.
- [6] BENJAMIN T.B. Shearing flow over a wavy boundary // J. Fluid Mechanics. 1959. Volume 6. pp. 161–205.
- [7] ГЕШЕВ П.И. Линейная модель пристенного турбулентного переноса // Препринт №73–81. Институт теплофизики СО АН СССР. 1981.
- [8] ALEKSEENKO S. V., AKTERSHEV S. P., CHERDANTSEV A. V., KHARLAMOV S. M., MARKOVICH D. M. Primary instabilities of liquid film flow sheared by turbulent gas stream // International Journal of Multiphase Flow. 2009. Volume 35, pp. 617–627,